

文章编号: 1000-324X(2017)10-1035-07

DOI: 10.15541/jim20170005

Bi 过量以及冷却方式对 BiFeO₃-BaTiO₃ 陶瓷的相结构及电学性能的影响

马 剑, 张波萍, 陈建银

(北京科技大学 北京市新能源材料与技术重点实验室, 材料科学与工程学院, 北京 100083)

摘要: 采用传统固相烧结法制备了 0.7BiFeO₃-0.3BaTiO₃-xBi₂O₃(0≤x≤0.05)无铅压电陶瓷, 研究了 Bi 补偿量 x 和冷却方式对其相结构、微观形貌和综合电学性能的影响。结果表明: 所有样品均为菱方相(R)和伪立方相(PC)两相共存, 0≤x≤0.01 样品为纯的钙钛矿结构, 且 x=0.01 样品的两相比例 C_R/C_{PC} 接近 1; x>0.01 样品中出现富 Bi 杂相 Bi₂₅FeO₄₀。与冷却方式相比, 优化 Bi 补偿量更有利于提升 BFBT-xBi₂O₃ 陶瓷的压电性能。随着 x 增大, d₃₃ 先增大后减小, 在 x=0.01 时获得最优值。由于较小的晶粒、较合适的 C_R/C_{PC} 以及较大的残余应变, 水冷 BFBT-0.01Bi₂O₃ 陶瓷获得了最优的压电性能(d₃₃ 水冷=141 pC/N, k_p=27%)和高 T_C=507℃。研究结果表明, BFBT 基陶瓷有希望成为兼具高压电性能和高 T_C 的无铅压电材料体系之一。

关键词: BiFeO₃-BaTiO₃; Bi 补偿量; 冷却方式; 相结构; d₃₃

中图分类号: TM282 文献标识码: A

Excess Bi and Cooling Method on Phase Structure and Electrical Properties of BiFeO₃-BaTiO₃ Lead-free Ceramics

MA Jian, ZHANG Bo-Ping, CHEN Jian-Yin

(The Beijing Municipal Key Laboratory of New Energy Materials and Technology, School of Materials Science and Engineering, University of Science and Technology Beijing, Beijing 100083, China)

Abstract: A series of 0.7BiFeO₃-0.3BaTiO₃-xBi₂O₃(0≤x≤0.05) ceramics were prepared with solid reaction method under furnace, air and water cooling. The effects of excess Bi and cooling methods on phase structure, morphology and comprehensive electrical properties were investigated. All the ceramics show coexisting R-PC phase whose ratio C_R/C_{PC} is close to 1 at x = 0.01, apart from the appearance of an impurity phase Bi₂₅FeO₄₀ when x>0.01. Compared with cooling way, optimizing excess Bi content is more beneficial to enhance the piezoelectric performance of BFBT-xBi₂O₃. The d₃₃ firstly increases and then decreases with x increment, and gets an optimal value at x = 0.01. Smaller grain size and suitable C_R/C_{PC}, larger residual strain all contribute to the enhanced piezoelectricity (d₃₃=141 pC/N, k_p=27%) and a high Curie temperature (T_C = 507℃) in water-cooled BFBT-0.01Bi₂O₃ ceramic. The present work indicates that BFBT based lead-free piezoelectric ceramics are promising candidates for high temperature applications with both high performance and high T_C.

Key words: BiFeO₃-BaTiO₃; Bi compensation; cooling method; phase structures; d₃₃

收稿日期: 2017-01-04; 收到修改稿日期: 2017-04-23

基金项目: 国家自然科学基金(51472026); 高等学校博士学科点专项基金(20130006110006)

National Natural Science Foundation of China(51472026); Research Fund for the Doctoral Program of Higher Education of China (20130006110006)

作者简介: 马 剑(1990-), 男, 硕士研究生. E-mail address: majian9026@163.com

通讯作者: 张波萍, 教授. E-mail address: bpzhang@ustb.edu.cn

以PZT为代表的铅基压电陶瓷具有优异的介电和压电性能,广泛应用于驱动器、换能器、传感器等领域。基于铅对人体健康和环境的严重危害性,研究者们围绕 BaTiO_3 基、 $(\text{K}, \text{Na})\text{NbO}_3$ 基、 $(\text{Bi}_{1/2}\text{Na}_{1/2})\text{TiO}_3$ 基以及 BiFeO_3 基等无铅压电陶瓷展开深入研究。 BaTiO_3 是最早发现的无铅压电材料,近年来经过掺杂改性其压电性能高达630 pC/N,但居里温度(T_C)较低($\sim 120^\circ\text{C}$),在高温环境下使用受到限制^[1-2]。 BiFeO_3 室温下呈扭曲的菱方钙钛矿(R3c)结构,是为数不多的铁电性和反铁磁性共存的单相多铁性材料,其尼尔温度(T_N)和 T_C 分别高达370℃和830℃,理论自发极化强度极高($P_s \sim 100 \mu\text{C}/\text{cm}^2$),是一种最具应用潜力的无铅多铁性高温压电材料。但 BiFeO_3 基陶瓷在不同气氛烧结过程中B位 Fe^{3+} 极易被还原成 Fe^{2+} ,形成氧空位,或 Fe^{3+} 与 Fe^{4+} 之间价态的变化,导致漏电流高,使其充分极化困难^[3-4]。另外, BiFeO_3 还存在稳定相形成温度范围窄、难以合成纯相等缺点^[5]。尽管 BiFeO_3 和 BaTiO_3 的大规模应用均受到一定程度的制约,但是二者在全组分范围内能够形成连续固溶体,作为最有希望获得兼具高压电性能和高 T_C 的无铅压电材料体系而受到关注。1981年,Ismailzadei等^[6]发现 $\text{BaTiO}_3\text{-BiFeO}_3$ (BF-BT)陶瓷作为一种铁磁性材料具有微弱的压电响应,但是其电阻较低,极化过程中漏电流大,陶瓷的充分极化困难,初期对其的研究局限于介电和铁磁性能方面^[7-9]。Leontsev等^[10]发现少量Mn掺杂能够增大BF-BT陶瓷的电阻,进而减小极化时的漏电流,获得较优异的电学性能($d_{33}=116 \text{ pC}/\text{N}$ 、 $T_C=450^\circ\text{C}$)。Zhou等同时掺入少量 MnO_2 和 ABO_3 型钙钛矿体系,如 $\text{Bi}(\text{Mg}_{1/2}\text{Ti}_{1/2})\text{O}_3$ ^[11]、 $\text{Bi}(\text{Ni}_{1/2}\text{Ti}_{1/2})\text{O}_3$ ^[12]和 $\text{Bi}(\text{Zn}_{1/2}\text{Ti}_{1/2})\text{O}_3$ ^[13],使得BF-BT陶瓷的压电性能得到改善。有研究者用 La^{3+} 、 Nd^{3+} 和 Sm^{3+} 等取代A位 Bi^{3+} ,或者 Nb^{5+} 和 Co^{3+} 取代B位 Fe^{3+} 等方法优化BF-BT陶瓷的性能^[14-17],但其性能并未得到有效地提高,可能是由于忽略了烧结过程中Bi的挥发。 Bi_2O_3 的熔点为830℃,在烧成过程中极易挥发而形成空位和富Fe杂相 $\text{Bi}_2\text{Fe}_4\text{O}_9$ ^[18],前者使得极化过程中产生较大的漏电流,后者使得相结构偏离设定的最佳配比,导致压电响应弱^[18-19]。

Lee等^[20]报道经过水淬后的BF-BT陶瓷的压电系数 d_{33} 高达400 pC/N,但是文中并没有解释水淬对电学性能的影响机制。Wei等^[21]修正了BF-BT体系的相图,当 $x=0.30$ 时,室温下陶瓷处在菱方相(R)和伪立方相(PC)两相共存成分区域,获得了较高的压电性能($d_{33}=134 \text{ pC}/\text{N}$)。本研究通过固相烧结法制备 Bi_2O_3 过量补偿0.7BF-0.3BT陶瓷,研究Bi补偿

量以及冷却方式对0.7BF-0.3BT陶瓷的相结构、微观形貌、晶粒尺寸、残余应变量以及综合电学性能的影响。

1 实验方法

以 Bi_2O_3 (99%)、 Fe_2O_3 (99.8%)和nano- BaTiO_3 (99%)为原料,按照化学式 $0.7\text{BiFeO}_3\text{-}0.3\text{BaTiO}_3$ (简称BFBT- $x\text{Bi}_2\text{O}_3$, $x=0, 0.005, 0.01, 0.015, 0.02, 0.025, 0.05$)进行配料。将称好的粉体放入装有氧化锆球的尼龙球磨罐中,以无水乙醇为球磨介质,用行星式球磨机在300 r/min下球磨12 h。球磨浆粉在烘箱中烘干后,在780℃下焙烧3 h合成BF-BT粉体。在焙烧粉体中加入过量 Bi_2O_3 后,二次球磨12 h。干燥后的粉体用2wt%聚乙烯醇(PVA)作粘结剂,用手动压片机在80 MPa下压制成 $\phi 10 \text{ mm} \times 1 \text{ mm}$ 的圆片。圆片放置于马弗炉内,以5°C/min速度升高到650°C保温2 h完成排胶后,以5°C/min速度升温到1020°C保温4 h。保温结束后,样品按随炉冷却(炉冷)、空气中冷却(空冷)和水中冷却(水冷)三种方式冷却至室温。将陶瓷上下表面磨平后焙银,在硅油中以3 kV/mm的电压极化30 min,测试其电学性能。

用X射线衍射仪(日本Rigak公司/2000 V型)分析样品相结构,用扫描电镜(SEM, JSM-6460LV)观察其断口形貌,用ZJ-3A改进型准静态 d_{33} 测试仪(中国科学院声学研究所)测量压电常数 d_{33} ,用铁电测量仪(RT6000HVA(Radiant Technologies, Inc))测量铁电性能。用修正的Willianson-Hall法($\beta_{hkl} \cos \theta = \left(\frac{k\lambda}{D} \right) + (4\varepsilon \sin \theta) \right)^{[22]}$ 计算残余应变量,用绝缘电阻测试仪(Appilent AT683)测量漏电流密度 J 。用Agilent 4294A精密阻抗分析仪测量电阻、频率和电容,计算平面机电耦合系数(k_p)和机械品质因数(Q_m),其计算公式如下:

$$k_p^2 = \frac{2.51 \times (f_a - f_r)}{f_a} \quad (1)$$

$$Q_m = \frac{1}{2\pi \times f_r \times R \times c_p \left[1 - \left(\frac{f_r}{f_a} \right)^2 \right]} \quad (2)$$

2 结果与讨论

图1表示炉冷、空冷、水冷BF-BT- $x\text{Bi}_2\text{O}_3$ ($0 \leq x \leq 0.05$)陶瓷以及菱方相(R) BiFeO_3 (PDF#72-2112)、赝立方相(PC) BaTO_3 (PDF#31-0174)标准卡片的XRD

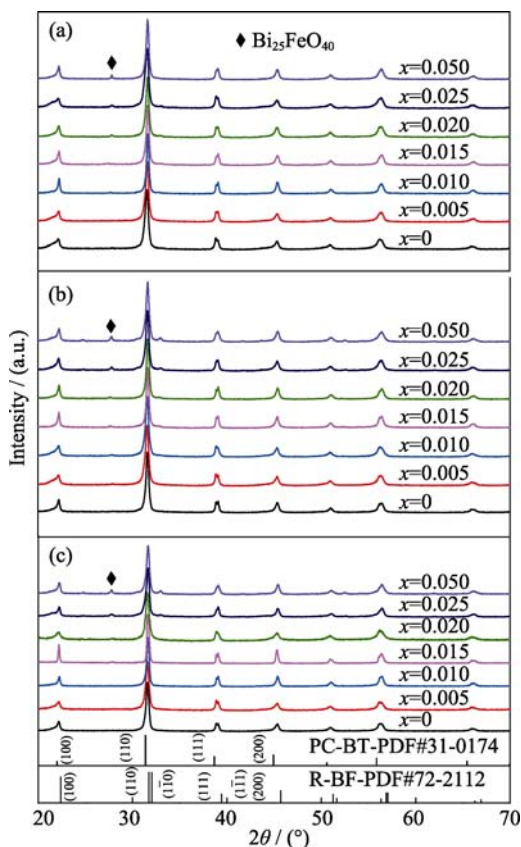


图1 炉冷(a)、空冷(b)和水冷(c)BF-BT- x Bi₂O₃陶瓷的XRD图谱

Fig. 1 XRD patterns of the BF-BT- x Bi₂O₃ ceramics

图谱。所有样品的主相均为典型的钙钛矿结构。当 $0 \leq x \leq 0.01$ 时, 炉冷、空冷、水冷样品为纯钙钛矿相; 当 $0.01 < x \leq 0.05$ 时, 同时出现富Bi杂相Bi₂₅FeO₄₀(PDF#46-0416)。图2(a)~(e)分别表示杂相Bi₂₅FeO₄₀

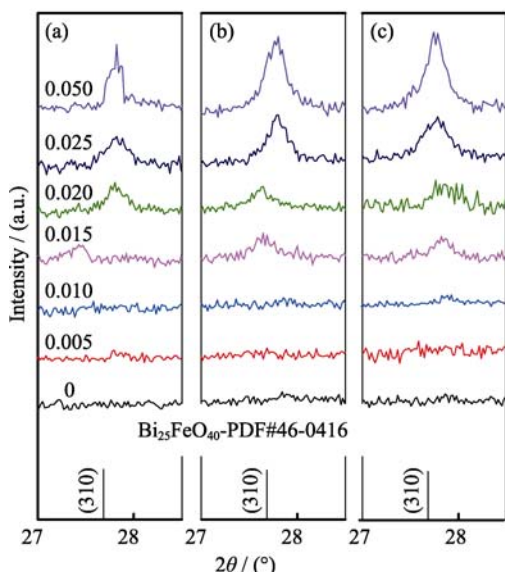
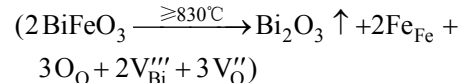


图2 炉冷、空冷、水冷BF-BT- x Bi₂O₃陶瓷在 $2\theta=27^\circ\sim28.5^\circ$ 的XRD图谱(a~c), $2\theta_{(110)}$ 角度(d)以及残余应变 ε (e)随 x 的变化关系

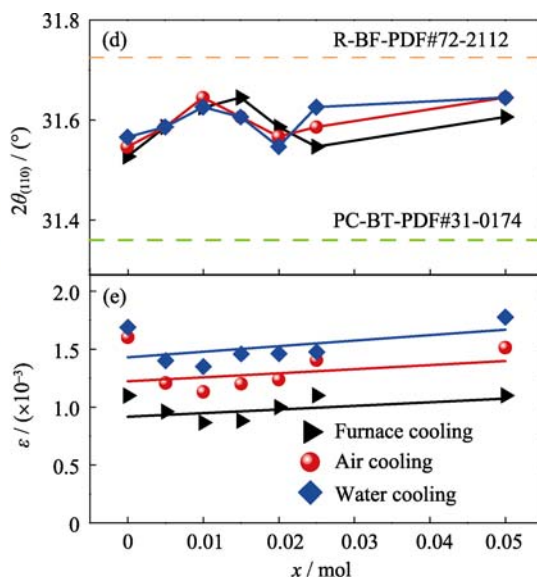
Fig. 2 (a-c) Enlarged XRD patterns in the 2θ range of $27^\circ\sim28.5^\circ$, and (d) the $2\theta_{(110)}$ value and (e) the residual strain ε as a function of x for BF-BT- x Bi₂O₃ ceramics by furnace cooling, air cooling and water cooling

的局部放大XRD图谱、BF-BT主晶格的(110)衍射峰峰位以及内应变(ε)与 x 的演变关系。随着 x 增大, 杂相Bi₂₅FeO₄₀的衍射峰逐渐增强(图2(a)~(c)), 表明杂相的量逐渐增加。

一般来说, Bi挥发



会形成Bi空位(V_{Bi}'')和氧空位V_O'', 由于电荷的排斥作用而导致BF-BT的晶胞膨胀, 使其衍射峰向小角度偏移^[19]。如图2(d)所示, 三种冷却方式对主晶格衍射峰偏移的影响没有明显区别, 随着 x 的增加呈类似的偏移规律。当 $0 \leq x \leq 0.015$, 所有BF-BT样品主晶格的(110)衍射峰随 x 的增大向大角度偏移, 表明过量的Bi₂O₃对空位的补偿作用增强, 导致BF-BT主相的晶胞收缩。但是, 如图2(d)所示, 当 $x > 0.01$, 出现富Bi杂相Bi₂₅FeO₄₀后, 用于消除空位的Bi补偿量减少, 主相晶格中空位维持其高浓度, 使BF-BT主晶格的衍射峰向小角度偏移(图2(d))。随着 x 的增大, 富Bi杂相Bi₂₅FeO₄₀增多, 但是与空冷和水冷样品相比, 炉冷样品的冷却时间最长, Bi挥发量偏多, 则其需要更多的Bi补偿量才能抵消更多的Bi空位。因此, 图2(d)中BF-BT主晶格的衍射峰向小角度偏移趋势, 对于空冷和水冷样品出现在 $0.015 \leq x \leq 0.02$ 范围, 而对于炉冷样品拓宽至 $0.010 \leq x \leq 0.025$ 范围。继续增加 x , Bi补偿量足以抵消Bi空位, 过多的Bi补偿量将进入主相晶格中, 导致BF-BT主晶格的衍射峰再次向大角度偏移。水冷、



空冷、炉冷样品的总残余应变量,如图2(e)所示,随着 x 的增大,总残余应变量随其冷却速度增加的顺序依次增大为0.0010、0.0013、0.0014。

选取炉冷、空冷、水冷的BFBT-0.01Bi₂O₃陶瓷样品分别进行Rietveld精修计算,图3和表1分别表示炉冷、空冷、水冷BFBT-0.01Bi₂O₃陶瓷的Rietveld精修图和晶胞结构参数以及R和PC两相比例(C_R/C_{PC})值。所有样品的 R_{wp} (weighted profile factor)均小于15%,表明计算值与实验值拟合较好。炉冷、空冷、水冷BFBT-0.01Bi₂O₃陶瓷的 C_R/C_{PC} 分别为51/49、54/46、60/40,随着冷却速率增大,R相呈增多趋势,这是由于炉冷样品与空冷和水冷样品相比,其冷却时间最长,Bi挥发量偏多所致。

图4和图5分别表示炉冷、空冷和水冷BF-BT- x Bi₂O₃($0 \leq x \leq 0.05$)陶瓷的热腐蚀断面SEM照片和平均晶粒尺寸以及相对密度。所有样品均无明显气孔存在(图4),相对密度大于 $\geq 90\%$ (图5(b))。如图5(a)所示,当 $0 \leq x \leq 0.015$ 时,低熔点Bi₂O₃(830℃)会形成液相促进晶粒长大,炉冷样品的平均晶粒尺寸从5.2 μm($x=0$)增至7.7 μm($x=0.01$),空冷和水冷样品的晶粒长大趋势明显小于炉冷样品,表明冷却

表1 BF-BT-0.01Bi₂O₃陶瓷的精修晶格参数和相比例
Table 1 Rietveld refined lattice parameters and phase ratio of the BFBT-0.01Bi₂O₃ ceramics

Cooling method	Space group	Lattice parameters/nm			$\alpha=\beta=\gamma/(^\circ)$	$R_{wp}/\%$	C_R/C_{PC}	$d_{33}/(\text{pC}\cdot\text{N}^{-1})$
		a	b	c				
C-PDF#31-0174	PM-3M	0.4031	0.4031	0.4031	90.00	—	—	—
R-PDF#72-2112	R-3M	0.3952	0.3952	0.3952	90.00	—	—	—
Furnace cooling	PM-3M	0.3999	0.3999	0.3999	90.00	13.2	51/49	122
	R-3M	0.3999	0.3999	0.3999	89.80			
Air cooling	PM-3M	0.4029	0.4029	0.4029	90.00	9.8	54/46	130
	R-3M	0.4027	0.4027	0.4027	90.00			
Water cooling	PM-3M	0.4040	0.4040	0.4040	90.00	10.7	60/40	141
	R-3M	0.4030	0.4030	0.4030	90.01			

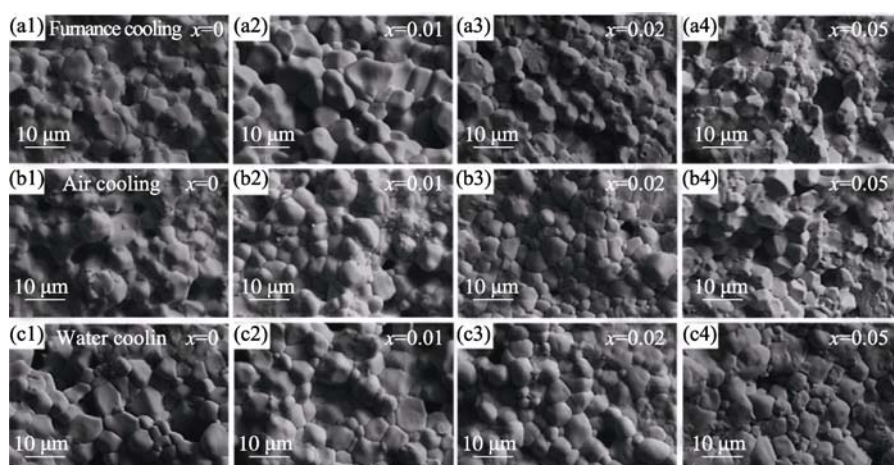


图4 炉冷(a1)~(a4)、空冷(b1~b4)、水冷(c1)~(c4)BF-BT- x Bi₂O₃陶瓷的SEM照片

Fig. 4 SEM images of the BFBT- x Bi₂O₃ ceramics sintered at 1020℃ for 4 h then by furnace cooling (a1)-(a4), air cooling (b1)-(b4) and water cooling (c1)-(c4)

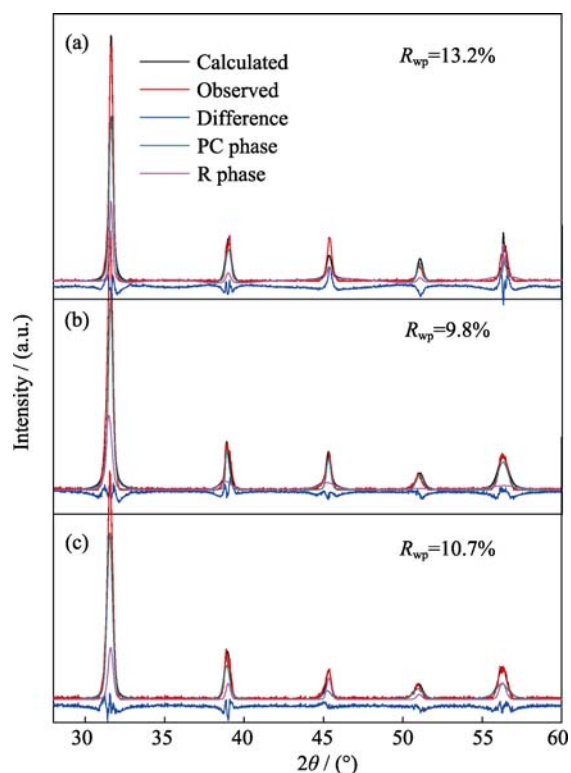


图3 炉冷(a)、空冷(b)、水冷(c)BF-BT-0.01Bi₂O₃陶瓷的Rietveld精修图谱

Fig. 3 Rietveld fitted spectra of the BFBT-0.01Bi₂O₃ ceramics

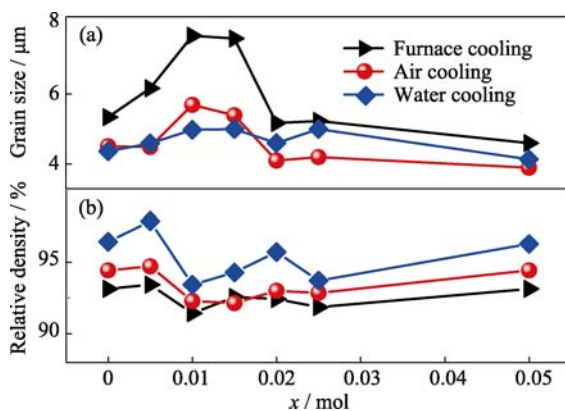


图 5 炉冷、空冷、水冷 BF-BT- $x\text{Bi}_2\text{O}_3$ 陶瓷的平均晶粒尺寸(a)和相对密度(b)

Fig. 5 Average grain size (a) and relative density (b) for the BF-BT- $x\text{Bi}_2\text{O}_3$ ceramics by furnace cooling, air cooling and water cooling

速率大, 降温时间短, 晶粒没有时间充分长大。当 $x > 0.015$, 杂相 $\text{Bi}_{25}\text{FeO}_{40}$ 在晶界处钉扎, 抑制陶瓷晶粒长大, 随着 x 的增加, 晶粒长大趋势变得不明显。

图 6(a)-(g)表示炉冷、空冷和水冷 BF-BT- $x\text{Bi}_2\text{O}_3$ ($0 \leq x \leq 0.05$)陶瓷的电滞回线。图 6(h)为剩余极化强度 P_r 随 x 的变化图。所有样品的 P_r 随 x 的增大, 都是先增大后减小, 最后趋于不变, 与晶粒尺寸的变化趋势相似。当 $x=0.01$ 时, 陶瓷获得相对较优的铁电性能: P_r 炉冷 = $4.2 \mu\text{C}/\text{cm}^2$, P_r 空冷 = $5.5 \mu\text{C}/\text{cm}^2$, P_r 水冷 = $10.7 \mu\text{C}/\text{cm}^2$, 原因在于: 一方面, Bi-6p 与 O-2p 轨道杂化有利于极化^[17], 而过量 Bi 可以补偿因挥发所消耗的 Bi, 从而取得较大的剩余极化; 另一方面, $x=0.01$ 具有最佳的 R 和 PC 两相比例(C_R/C_{PC})和大的晶粒尺寸导致其铁电性能的提高。

图 7 表示 1 kHz 下测得的炉冷、空冷和水冷 BF-BT-0.01Bi₂O₃ 陶瓷的介电常数 ϵ_r 和介电损耗 $\tan\delta$

随温度的变化关系。所有样品均存在两个介电异常变化现象, 较低温度处的异常变化对应 T_N , 表示电偶极有序变化引起的反铁磁转变, 较高温度处的介电峰对应 T_C 。炉冷、空冷和水冷 BF-BT-0.01Bi₂O₃ 陶瓷 T_C 处的介电峰随冷却方式依次变窄, 表明弛豫性逐渐减弱。图 7 插图是 BF-BT-0.01Bi₂O₃ 陶瓷的 T_C 和 C_R/C_{PC} 与冷却方式的关系, 随冷却速率增大, C_R/C_{PC} 增大, R 相增多, T_C 从 458°C 升高到 507°C 。在 300°C 范围内, 陶瓷表现出极好的温度稳定性, 随温度进一步升高, 介电损耗 $\tan\delta$ 逐渐增大, 当温度达到 500°C 时, $\tan\delta$ 开始急剧升高, 这可能是由于高温时电阻减小导致的。

图 8 表示炉冷、空冷和水冷 BF-BT- $x\text{Bi}_2\text{O}_3$ ($0 \leq x \leq 0.05$)陶瓷的 1 kV/mm 电场时的 J 、 d_{33} 、 Q_m 和 k_p 随 x 的变化关系。总体来说, 与冷却方式相比, Bi 补偿量更有利于 BF-BT- $x\text{Bi}_2\text{O}_3$ 陶瓷压电性能的提高。由图 8(a)可知, 冷却方式和 Bi 补偿量对漏电流的影响较小, 在 1 kV/mm 电场下漏电流保持在 $10^{-9} \text{ A}/\text{cm}^2$ 范围内, 从而保证了样品的充分极化。Ling 等^[23]在 $\text{BiFeO}_3\text{-BaTiO}_3$ 中掺杂 $\text{Bi}(\text{Mg}_{0.5}\text{Zr}_{0.5})\text{O}_3$, 相同条件下漏电流高达 $10^{-6} \text{ A}/\text{cm}^2$, 相差三个数量级。随着 x 的增大, 所有样品的 d_{33} 先增大后减小(图 8(b))。 $x=0.01$ 时, 陶瓷获得最优性能: d_{33} 炉冷 = 122 pC/N , d_{33} 空冷 = 130 pC/N , d_{33} 水冷 = 141 pC/N , 这主要是因为 $x=0.01$ 成分处相比例 C_R/C_{PC} 分别为 $51/49$ 、 $54/46$ 、 $60/40$, 接近 $1:1$ 。相对于炉冷和空冷样品, 水冷样品的 d_{33} 分别提高了 15.6% 和 6.5% 。如图 8(c)所示, 炉冷、空冷、水冷样品的机电耦合系数 k_p (由(1)式计算得到)随着 x 的增大, 呈现逐渐减小的趋势, 当 $x=0$ 时, 陶瓷获得最大值 k_p 炉冷 = 26.4% , k_p 空冷 = 26% , k_p 水冷 = 27% 。所有

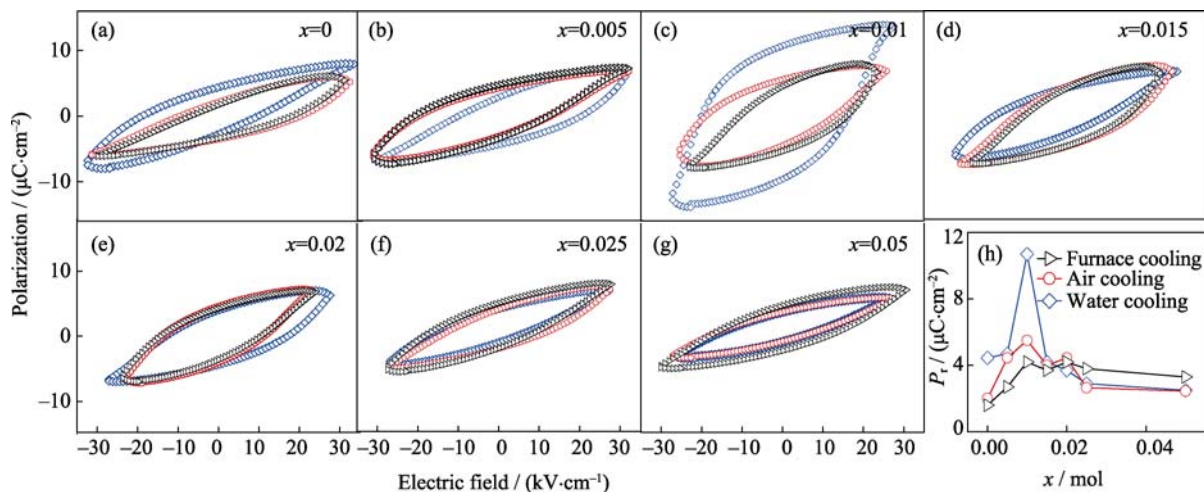


图 6 炉冷、空冷、水冷 BF-BT-0.01Bi₂O₃ 陶瓷的电滞回线

Fig. 6 Ferroelectric hysteresis loops (a-g) and P_r (h) as a function of x for the BF-BT- $x\text{Bi}_2\text{O}_3$ ceramics by furnace cooling, air cooling and water cooling

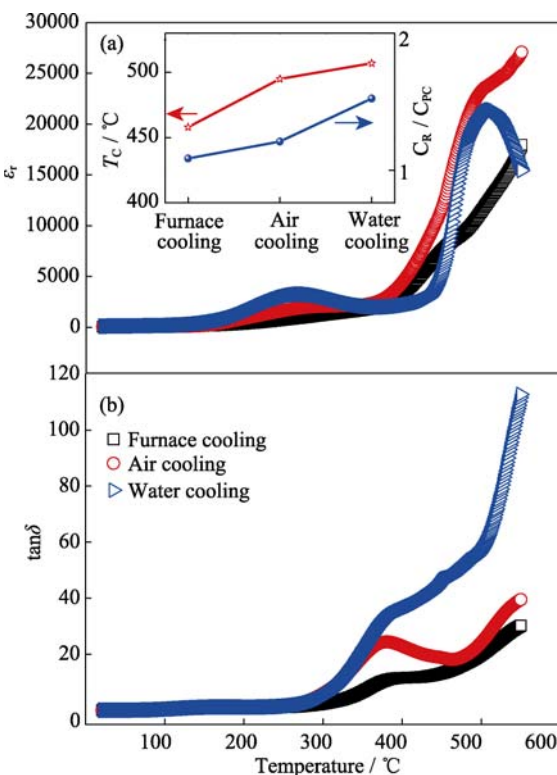


图 7 炉冷、空冷、水冷 BF-BT-0.01Bi₂O₃ 陶瓷的介电常数 ε_r (a)与介电损耗 $\tan\delta$ (b)

Fig. 7 Temperature dependences of dielectric constant ε_r (a) and dielectric loss $\tan\delta$ (b) for the BF-BT-0.01Bi₂O₃ ceramics by furnace cooling, air cooling and water cooling
The inset is T_c and C_R/C_{PC} under different cooling mode

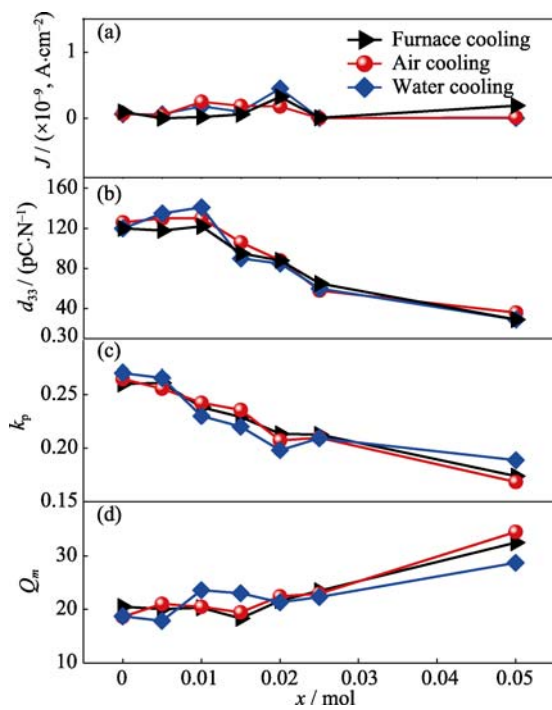


图 8 炉冷、空冷、水冷 BF-BT-xBi₂O₃ 陶瓷的漏电流密度 J 、压电系数 d_{33} 、平面机电耦合系数 k_p 和机械品质因数 Q_m 随 x 变化关系
Fig. 8 Leakage current density J (a), piezoelectric coefficient d_{33} (b), planar electromechanical coupling coefficient k_p (c) and mechanical quality factor Q_m (d) as a function of x for the BF-BT-xBi₂O₃ ceramics by furnace cooling, air cooling and water cooling

样品的机械品质因数 Q_m (由(2)式计算得到)均随 x 的增大而呈现上升的趋势(图 8(d))。

图 9 比较了炉冷、空冷和水冷 BF-BT-0.01Bi₂O₃ 陶瓷的平均晶粒尺寸、 C_R/C_{PC} 、 P_r 、残余应变 ε 值。基于较小的晶粒^[24]、较多的 R 相、较大的 P_r 值以及样品内存在较大的残余应变，水冷陶瓷获得最优的电学性能。

表 2 比较了水冷 BF-BT-0.01Bi₂O₃ 和其他 BF-BT 基陶瓷^[10,18,21,23,25-26]的电学性能。本研究通过简单地改变 Bi 补偿量以及冷却方式，水冷 BF-BT-0.01Bi₂O₃ 无铅压电陶瓷获得了较好压电性能(d_{33} _{水冷}=141 pC/N、 $k_p=27\%$)和较高的 $T_c=507^\circ\text{C}$ ，表明 BF-BT 有希望成为兼具高压电性能和高 T_c 的无铅压电材料体系之一。

3 结论

1) BF-BT- x Bi₂O₃($0 \leq x \leq 0.05$)无铅压电陶瓷样品均为 R-PC 两相共存。 $0 \leq x \leq 0.01$ 时，陶瓷样品为纯的钙钛矿结构； $x > 0.01$ 时，陶瓷样品中出现杂质 $\text{Bi}_{25}\text{FeO}_{40}$ 。随炉冷、空冷、水冷速度的增加，总残余应变量依次增大为 0.0010、0.0013、0.0014， $x=0.01$ 时陶瓷的 C_R/C_{PC} 分别为 51/49、54/46、60/40。

2) 与冷却方式相比，优化 Bi 补偿量 x 更有利于 BF-BT- x Bi₂O₃ 陶瓷压电性能的提高。随着 x 增大， d_{33} 先增大后减小。水冷 BF-BT-0.01Bi₂O₃ 陶瓷获得最优的压电性能(d_{33} _{水冷}=141 pC/N、 $k_p=27\%$)和较高的 $T_c(507^\circ\text{C})$ 。

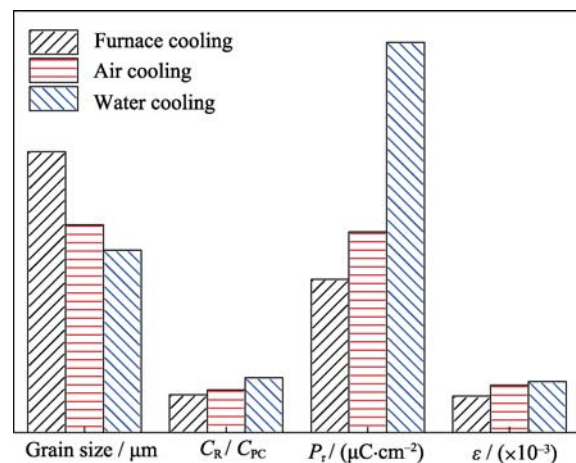


图 9 炉冷、空冷、水冷 BF-BT-0.01Bi₂O₃ 陶瓷的平均晶粒尺寸、 C_R/C_{PC} 、 P_r 以及残余应变 ε

Fig. 9 Average grain size, C_R/C_{PC} , P_r , and residual strain ε of the BF-BT-0.01Bi₂O₃ ceramics sintered at 1020°C for 4 h then by furnace cooling, air cooling and water cooling

表2 BFBT基陶瓷的电学性能

Table 2 Electrical properties of the BF-BT based ceramics

Compositions	$P_r/(\mu\text{C}\cdot\text{cm}^{-2})$	$E_C/(\text{kV}\cdot\text{cm}^{-1})$	$d_{33}/(\text{pC}\cdot\text{N}^{-1})$	$T_C/^\circ\text{C}$	Ref.
0.7BiFeO ₃ -0.3BaTiO ₃ -0.01Bi ₂ O ₃	10.7	16.1	141	507	This work
0.65BiFeO ₃ -0.35BaTiO ₃	30.6	27.9	104	414	[25]
0.7BiFeO ₃ -0.3BaTiO ₃	26.0	33.0	134	510	[21]
0.75BiFeO ₃ -0.25BaTiO ₃ -Mn	22.9	39.3	116	619	[10]
0.8BiFeO ₃ -0.2BaTiO ₃ -0.15wt% SiO ₂	-	-	86	628	[26]
0.705BiFeO ₃ -0.275BaTiO ₃ -0.02Bi _{0.5} Na _{0.5} TiO ₃ -1mol%MnO ₂	27.4	-	140	-	[18]
0.715BiFeO ₃ -0.275BaTiO ₃ -0.01Bi(Mg _{0.5} Zr _{0.5})O ₃ -MnO ₂	9.0	27.0	130	575	[23]

参考文献:

- [1] ZHU L F, ZHANG B P, ZHAO L, et al. Large piezoelectric effect of (Ba, Ca)TiO₃-xBa(Sn, Ti)O₃ lead-free ceramics. *J. Eur. Ceram. Soc.*, 2016, **36(4)**: 1017-1024.
- [2] MA N, ZHANG B P, YANG W G, et al. Phase structure and nano-domain in high performance of BaTiO₃ piezoelectric ceramics. *J. Eur. Ceram. Soc.*, 2012, **32(5)**: 1059-1066.
- [3] DAI Z H, AKISHIGE Y. Electrical properties of multiferroic Bi-FeO₃ ceramics synthesized by spark plasma sintering. *J. Phys. D: Appl. Phys.*, 2010, **43**: 445403-1-5.
- [4] TADEJ R, KOSEC M, BUDIC B, et al. Strong ferroelectric domain-wall pinning in BiFeO₃ ceramics. *J. Appl. Phys.*, 2010, **108**: 074107.
- [5] TADEJ R, BENCAN A, MALI C B, et al. BiFeO₃ ceramics: processing, electrical and electromechanical properties. *J. Am. Ceram. Soc.*, 2014, **97(7)**: 1993-2011.
- [6] ISMAILZADE I H, ISMAILOV R M, ALEKBEROV A I, et al. Investigation of the magnetoelectric (ME)_H effect in solid solutions of the systems BiFeO₃-BaTiO₃ and BiFeO₃-PbTiO₃. *Phys. Status Solidi. A*, 1981, **1(68)**: k81-k85.
- [7] GAO L, HUANG Y, HU Y, et al. Dielectric and ferroelectric properties of (1-x)BaTiO₃-xBi_{0.5}Na_{0.5}TiO₃ ceramics. *Ceram. Int.*, 2007, **33(6)**: 1041-1046.
- [8] WANG T H, TUC S, DING Y, et al. Phase transition and ferroelectric properties of xBiFeO₃-(1-x)BaTiO₃ ceramics. *Curr. Appl. Phys.*, 2011, **11(3)**: S240-S243.
- [9] YANG H, ZHOU C, LIU X, et al. Piezoelectric properties and temperature stabilities of Mn-and Cu-modified BiFeO₃-BaTiO₃ high temperature ceramics. *J. Eur. Ceram. Soc.*, 2013, **33(6)**: 1177-1183.
- [10] LEONTSEV S O, EITELR E. Dielectric and piezoelectric properties in Mn-modified (1-x)BiFeO₃-xBaTiO₃ ceramics. *J. Am. Ceram. Soc.*, 2009, **92(12)**: 2957-2961.
- [11] ZHOU C R, FETEIRAA, SHAN X, et al. Remarkably high-temperature stable piezoelectric properties of Bi(Mg_{0.5}Ti_{0.5})O₃ modified BiFeO₃-BaTiO₃ ceramics. *Appl. Phys. Lett.*, 2012, **101(3)**: 2901.
- [12] ZHOU Q, ZHOU C R, YANG H B, et al. Dielectric, ferroelectric, and piezoelectric properties of Bi(Ni_{1/2}Ti_{1/2})O₃-modified BiFeO₃-BaTiO₃ ceramics with high curie temperature. *J. Am. Ceram. Soc.*, 2012, **95(12)**: 3889-3893.
- [13] SHAN X, ZHOU C R, CEN Z Y, et al. Bi(Zn_{1/2}Ti_{1/2})O₃ modified BiFeO₃-BaTiO₃ lead-free piezoelectric ceramics with high temperature stability. *Ceram. Int.*, 2013, **39(6)**: 6707-6712.
- [14] ZHANG Q, ZHU X H, XU Y H, et al. Effect of La³⁺ substitution on the phase transitions, microstructure and electrical properties of Bi_{1-x}La_xFeO₃ ceramics. *J. Alloys Compd.*, 2013, **546**: 57-62.
- [15] KAWAE T, TERAUCHI Y, TSUDA H, M, et al. Improved leakage and ferroelectric properties of Mn and Ti co-doped BiFeO₃ thin films. *Appl. Phys. Lett.*, 2009, **94(11)**: 112904.
- [16] WU M S, HUANG Z B, HAN C X, et al. Enhanced multiferroic properties of BiFeO₃ ceramics by Ba and high valence Nb codoping. *Solid. State. Commun.*, 2012, **152(24)**: 2142-2146.
- [17] AZOUGH F, FREER R, THRALL M, et al. Microstructure and properties of Co-, Ni-, Zn-, Nb- and W- modified multiferroic Bi-FeO₃ ceramics. *J. Eur. Ceram. Soc.*, 2010, **30(3)**: 727-736.
- [18] LI Y, JIANG N, LAM K H, et al. Structure, ferroelectric, piezoelectric, and ferromagnetic properties of BiFeO₃-BaTiO₃-Bi_{0.5}Na_{0.5}TiO₃ lead-Free multiferroic ceramics. *J. Am. Ceram. Soc.*, 2014, **97(11)**: 3602-3608.
- [19] CHEN J G, CHENG J R. Enhanced thermal stability of lead-free high temperature 0.75BiFeO₃-0.25BaTiO₃ ceramics with excess Bi content. *J. Alloys Compd.*, 2014, **589**: 115-119.
- [20] LEE M H, KIM D J, PARK J S, et al. High-performance lead-free piezoceramics with high curie temperatures. *Adv. Mater.*, 2015, **27(43)**: 6976-6982.
- [21] WEI Y, WANG X, ZHU J, et al. Dielectric, ferroelectric and piezoelectric properties of BiFeO₃-BaTiO₃ ceramics. *J. Am. Ceram. Soc.*, 2013, **96(10)**: 3163-3168.
- [22] ZAK A K, MAJID W H ABD, ABRISHAMI M E, et al. X-ray analysis of ZnO nanoparticles by Williamson-Hall and size-strain plot methods. *Solid. State. Sci.*, 2011, **13**: 251-256.
- [23] LUO L L, JIANG N, LEI F Y, et al. Phase transition, ferroelectric and piezoelectric properties of Bi(Mg_{0.5}Zr_{0.5})O₃-modified BiFeO₃-BaTiO₃ lead-free ceramics. *J. Mater. Sci.: Mater. Electron.*, 2014, **25(4)**: 1736-1744.
- [24] TAN Y Q, ZHANG J L, WANG C L. High piezoelectric properties and good temperature stabilities of CuO-modified Ba(Ti_{0.96}Sn_xZr_{0.04-x})O₃ ceramics. *J. Adv. Dielect.*, 2013, **03(02)**: 1350014.
- [25] WEI Y, WANG X, JIA J, et al. Multiferroic and piezoelectric properties of 0.65BiFeO₃-0.35BaTiO₃ ceramic with pseudo-cubic symmetry. *Ceram. Int.*, 2012, **38(4)**: 3499-3502.
- [26] YAO Z, XU C, WANG Z, et al. Microstructure, ferro-piezoelectric and thermal stability of SiO₂ modified BiFeO₃-BaTiO₃ high temperature piezoceramics. *J. Mater. Sci.*, 2015, **26(1)**: 479-484.